



## Branch-and-Bound Algorithm for Sparse Approximation in Signal Processing and Statistics

---

Ramzi Ben Mhenni, Sè bastien Bourguignon and Jordan Ninin

EasyChair preprints are intended for rapid dissemination of research results and are integrated with the rest of EasyChair.

February 5, 2020

# Algorithme *Branch-and-Bound* pour l'approximation parcimonieuse en traitement du signal et en statistiques

Ramzi Ben Mhenni<sup>1</sup>, Sébastien Bourguignon<sup>1</sup>, Jordan Ninin<sup>2</sup>

<sup>1</sup> École Centrale de Nantes, LS2N , 1 rue de la Noë, F-44321 Nantes, France

{ramzi.ben-mhenni,sebastien.bourguignon}@ec-nantes.fr

<sup>2</sup> ENSTA-Bretagne, Lab-STICC , 2 rue François Verny, F-29806 Brest cedex 9, France

jordan.ninin@ensta-bretagne.fr

**Mots-clés :** *Optimisation en norme  $\ell_0$ , Cardinalité, Programmation en Nombres Mixtes, Algorithme Branch-and-Bound.*

## 1 Introduction

L'approximation parcimonieuse de données  $\mathbf{y} \in \mathbb{R}^m$  consiste à estimer, sous un modèle  $\mathbf{y} \simeq \mathbf{A}\mathbf{x}$ , un vecteur  $\mathbf{x} \in \mathbb{R}^n$  avec peu de composantes non nulles, *i.e.*, de faible "norme"  $\ell_0$  :  $\|\mathbf{x}\|_0 := \text{Card} \{i \mid x_i \neq 0\}$ . En introduisant des variables de décision binaires ( $b_i = 1 \Leftrightarrow x_i \neq 0$ ), la norme  $\ell_0$  peut être reformulée exactement et le problème s'écrit alors, selon la formulation choisie, sous la forme d'un MIP (*Mixed-integer Program*) [1, 2, 3] :

$$\begin{aligned} \mathcal{P}_{2/0} : \quad & \min_{\mathbf{b} \in \{0,1\}^n, \mathbf{x} \in \mathbb{R}^n} \frac{1}{2} \|\mathbf{y} - \mathbf{A}\mathbf{x}\|_2^2 \quad \text{s.c.} \quad \sum_{i=1}^n b_i \leq K \quad \text{et} \quad |\mathbf{x}| \leq M\mathbf{b}; \\ \mathcal{P}_{0/2} : \quad & \min_{\mathbf{b} \in \{0,1\}^n, \mathbf{x} \in \mathbb{R}^n} \sum_{i=1}^n b_i \quad \text{s.c.} \quad \frac{1}{2} \|\mathbf{y} - \mathbf{A}\mathbf{x}\|_2^2 \leq \epsilon \quad \text{et} \quad |\mathbf{x}| \leq M\mathbf{b}; \\ \mathcal{P}_{2+0} : \quad & \min_{\mathbf{b} \in \{0,1\}^n, \mathbf{x} \in \mathbb{R}^n} \frac{1}{2} \|\mathbf{y} - \mathbf{A}\mathbf{x}\|_2^2 + \mu \sum_{i=1}^n b_i \quad \text{s.c.} \quad |\mathbf{x}| \leq M\mathbf{b}; \end{aligned}$$

où  $M$  est une constante suffisamment grande (*bigM*). Il a ainsi été montré dans [3] que la résolution exacte de ces problèmes était envisageable par un solveur MIP générique (CPLEX) pour des problèmes de petite taille mais difficiles, où les méthodes d'approximation sous-optimales standard échouent à trouver l'optimum global. Ces MIPs sont cependant très spécifiques et nous proposons donc ici un algorithme Branch-and-Bound dédié [1, 2]. Notre contribution majeure est basée sur le fait que les relaxations continues à chaque nœud peuvent être réduites à des problèmes d'optimisation sans variables binaires faisant intervenir la norme  $\ell_1$ , pour lesquels nous construisons un algorithme particulièrement efficace.

## 2 Algorithme Branch-and-Bound spécifique

Notre algorithme fait une recherche en profondeur d'abord. Puisque les variables de décision sont binaires, la séparation correspond à une décision :  $b_i = 1$  ou  $b_i = 0$ . Nous privilégions l'exploration du côté  $b_i = 1$  d'abord pour limiter la profondeur de l'arbre de recherche, contrainte par la parcimonie (pour  $\mathcal{P}_{2/0}$ , le nombre de branches  $b_i = 1$  est limité à  $K$ ). Chaque nœud est évalué *via* la relaxation continue des variables binaires et la variable de branchement correspond à la coordonnée d'amplitude maximale dans la solution relâchée.

Avec des notations évidentes, on a, à un nœud donné,  $\mathbf{b}_{S^1} = 1$ ,  $\mathbf{b}_{S^0} = 0$  et les variables  $\mathbf{b}_{\bar{S}}$  sont indéterminées. Nous avons montré que la relaxation continue ( $b_i \in [0, 1], i \in \bar{S}$ ) peut être calculée en résolvant un problème équivalent sans variables binaires, impliquant un terme en norme  $\ell_1$ . Par exemple, pour  $\mathcal{P}_{2+0}$ , celui-ci s'écrit :

$$\mathcal{R}_{2+1} : \min_{\mathbf{x}_{S^1 \cup \bar{S}}} \frac{1}{2} \|\mathbf{y} - \mathbf{A}_{S^1} \mathbf{x}_{S^1} - \mathbf{A}_{\bar{S}} \mathbf{x}_{\bar{S}}\|_2^2 + \lambda \|\mathbf{x}_{\bar{S}}\|_1 \quad \text{s.c.} \quad \|\mathbf{x}_{S^1 \cup \bar{S}}\|_\infty \leq M, \quad \text{avec} \quad \lambda := \mu/M.$$

Des résultats similaires sont obtenus pour  $\mathcal{P}_{2/0}$  et  $\mathcal{P}_{0/2}$ . Nous avons alors construit un algorithme homotopique [4] pour ces problèmes. Ce dernier considère la forme pénalisée  $\mathcal{R}_{2+1}$  et exploite le fait que le chemin de solution est linéaire par morceaux en fonction de  $\lambda$  (Figure 1 à gauche). L'algorithme calcule itérativement toutes les solutions en diminuant de façon

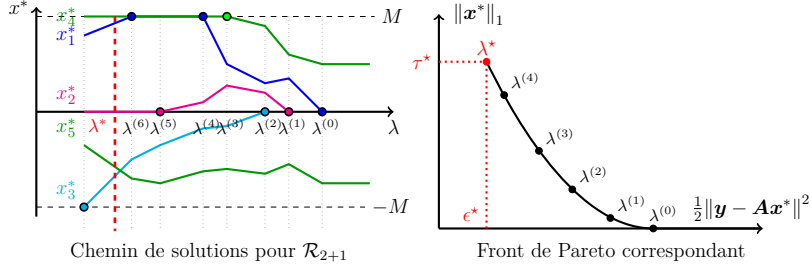


FIG. 1 – Méthode homotopique : chemin de solution  $x^* = \arg \min \mathcal{R}_{2+1}$  en fonction de  $\lambda$ .

continue le paramètre  $\lambda$  jusqu'à atteindre la valeur cible. Par conséquent, il peut également résoudre les problèmes  $\mathcal{R}_{2/1}$  ou  $\mathcal{R}_{1/2}$ , en s'arrêtant lorsque la contrainte correspondante est atteinte (Figure 1 à droite).

### 3 Résultats expérimentaux

Nous comparons notre algorithme, noté  $B\&B_{Hom}$ , au solveur MIP de CPLEX (v12.8),  $MIP_{Cplex}$ , sur :

- des problèmes de déconvolution parcimonieuse [3] avec  $n = 100$  inconnues et un degré de parcimonie de  $K = 5$  à  $K = 9$ . Malgré leur petite taille, ce sont des problèmes inverses mal posés et très compliqués ;
- des problèmes de sélection de variables avec  $A$  et  $x$  aléatoires,  $n = 1000$  inconnues et un degré de parcimonie de  $K = 5$  à  $K = 15$ .

Les profils de performance représentés en figure 2 montrent que notre algorithme est bien meilleur que  $MIP_{Cplex}$ . Sur les problèmes de déconvolution, même si  $MIP_{Cplex}$  est capable de résoudre plus de problèmes de type  $\mathcal{P}_{2/0}$  et  $\mathcal{P}_{2+0}$ ,  $B\&B_{Hom}$  reste plus rapide dans 80% des cas pour  $\mathcal{P}_{2/0}$  et 58% pour  $\mathcal{P}_{2+0}$ . Surtout, pour  $\mathcal{P}_{0/2}$ , notre algorithme reste de performances comparables aux autres cas alors que celles de  $MIP_{Cplex}$  s'écroulent. Sur les problèmes de sélection de variables,  $B\&B_{Hom}$  surpasse de loin  $MIP_{Cplex}$ , reflétant la difficulté du solveur générique à monter en dimension.

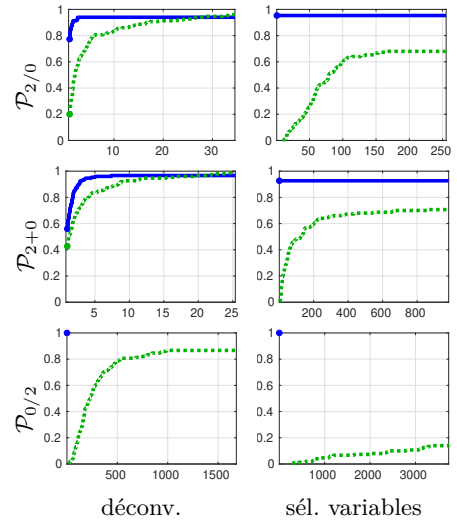


FIG. 2 – Profils de performance obtenus sur 150 problèmes, pour  $B\&B_{Hom}$  (—),  $MIP_{Cplex}$  (⋯).

### Références

- [1] D. Bertsimas and R. Shioda. Algorithm for cardinality-constrained quadratic optimization. *Computational Optimization and Applications*, 43(1) :1–22, 2009.
- [2] D. Bienstock. Computational study of a family of mixed-integer quadratic programming problems. *Mathematical Programming*, 74(2) :121–140, 1996.
- [3] S. Bourguignon, J. Ninin, H. Carfantan, and M. Mongeau. Exact sparse approximation problems via mixed-integer programming : Formulations and computational performance. *IEEE Transactions on Signal Processing*, 64(6) :1405–1419, March 2016.
- [4] M. R. Osborne, B. Presnell B, and B. A. D. Turlach BAD. A new approach to variable selection in least squares problems. *IMA Journal of Numerical Analysis*, 2000.